

ANEXOS

Table 1 Classification of tracheal stenosis according to Myer <i>et al</i> ¹¹	
Description	
Grade 1	Lesions causing $\leq 50\%$ obstruction
Grade 2	Lesions causing 51–70% obstruction
Grade 3	Lesions causing 71–99% obstruction
Grade 4	Complete obstruction

Figura 1. Clasificación de estenosis traqueal según Myer et al. Ulusan, A. (2017). Preoperative rigid bronchoscopy image. [image].

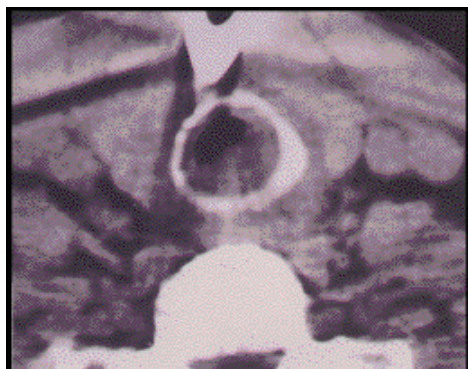


Figura 1. Estenosis traqueal (T.C. corte axial).

Figura 3.1 Imagen de estenosis traqueal (Tomografía computarizada) Acosta, L. (2003) Estenosis traqueal (T.C. corte axial). [image].

	Grado	Definición
Lano	I	Una zona*
	II	Dos zonas*
	III	Tres zonas*
Cotton	I	< 70% de obstrucción
	II	70% - 90% de obstrucción
	III	> 90% de obstrucción
	IV	Obstrucción total
McCaffrey	I	Subglotis o tráquea < 1 cm
	II	Subglotis > 1 cm
	III	Subglotis/tráquea > 1 cm
	IV	Cualquier lesión interesando la glotis

Figura 2. Clasificación de evaluación de estenosis laríngea y/o traqueal. Acosta, L. (2003). Clasificaciones propuestas para la evaluación de estenosis laríngea y/o traqueal. [image].

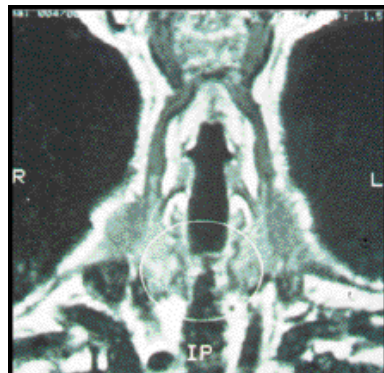


Figura 2. R.M. estenosis traqueal.

Figura 3.2 Estenosis traqueal (Resonancia magnética) Acosta, L. (2003) R.M. Estenosis traqueal. [image].



Figura 3.3 Imágenes de broncoscopia virtual de segmento traqueal normal proximal (A), distal (B) y estenosis traqueal (C). Bacon, J. (2014). Virtual bronchoscopy images of the normal proximal (A) and distal (B) trachea and tracheal stenosis (C).. [image].

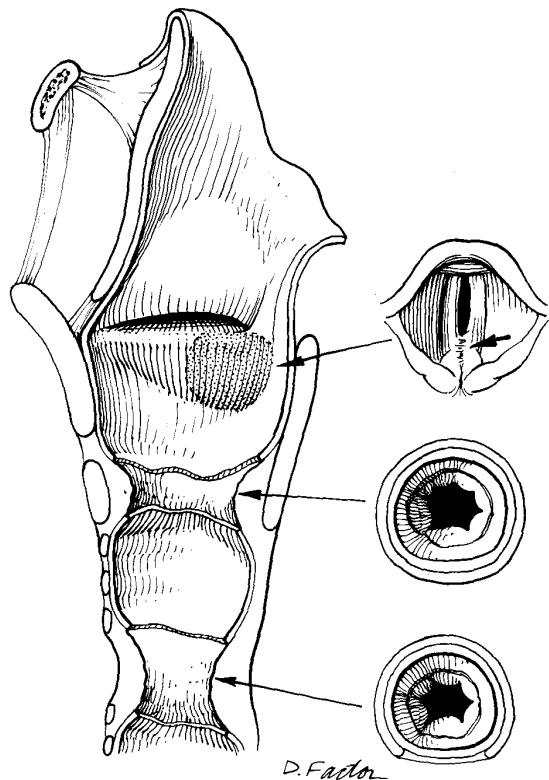


Figura 4.1 Tipos de estenosis de superior a inferior: górica, subglótica y traqueal.

McCaffrey, T. (1993). Diagram shows the types of stenosis encountered in this series.. [image].

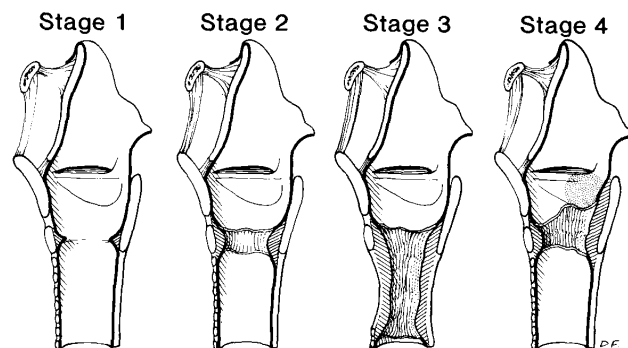


Figura 4.2 Apariencia de los cuatro grados de estenosis traqueal.

McCaffrey, T. (1993). Diagram illustrates the generalized of the four stages of stenosis described. [image].



Figura 5.1 Imagen preoperatoria de broncoscopia rígida.
Ulusan, A. (2017). Preoperative rigid bronchoscopy image. [image].



Figura 5.2 Intubación de traquea distal con tubo espiral.
Ulusan, A. (2017). Intubation of distal trachea with a second spiral tube. [image].

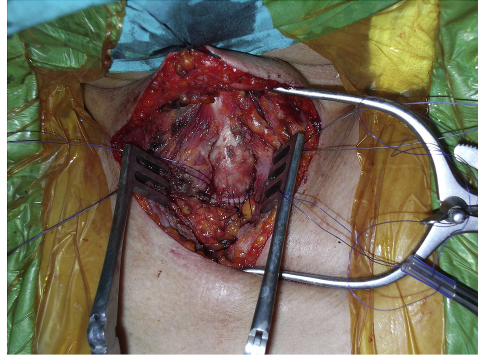


Figura 5.4 Anastomosis de la pared membranosa con sutura continua (Vicryl, PDS, PROLENE, and MONOCRYL).
Ulusan, A. (2017). Anastomosis of the membranous Wall with a continuous suture. [image].



Figura 5.3 Cartílago traqueal resecado.
Ulusan, A. (2017). The excised tracheal cartilage. [image].

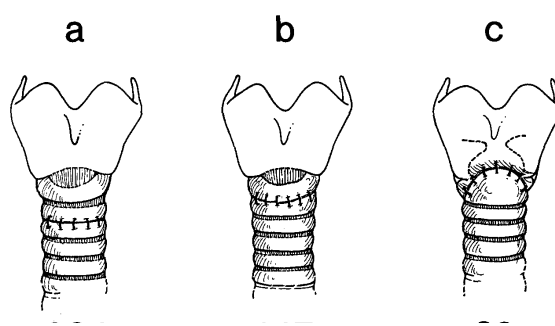


Figura 6. Tipos de anastomosis: a) De extremo a extremo tras resección traqueal, b) crico-traqueal c) tiro-traqueal
Grillo, H. (1995). Categories of reconstruction... [image].

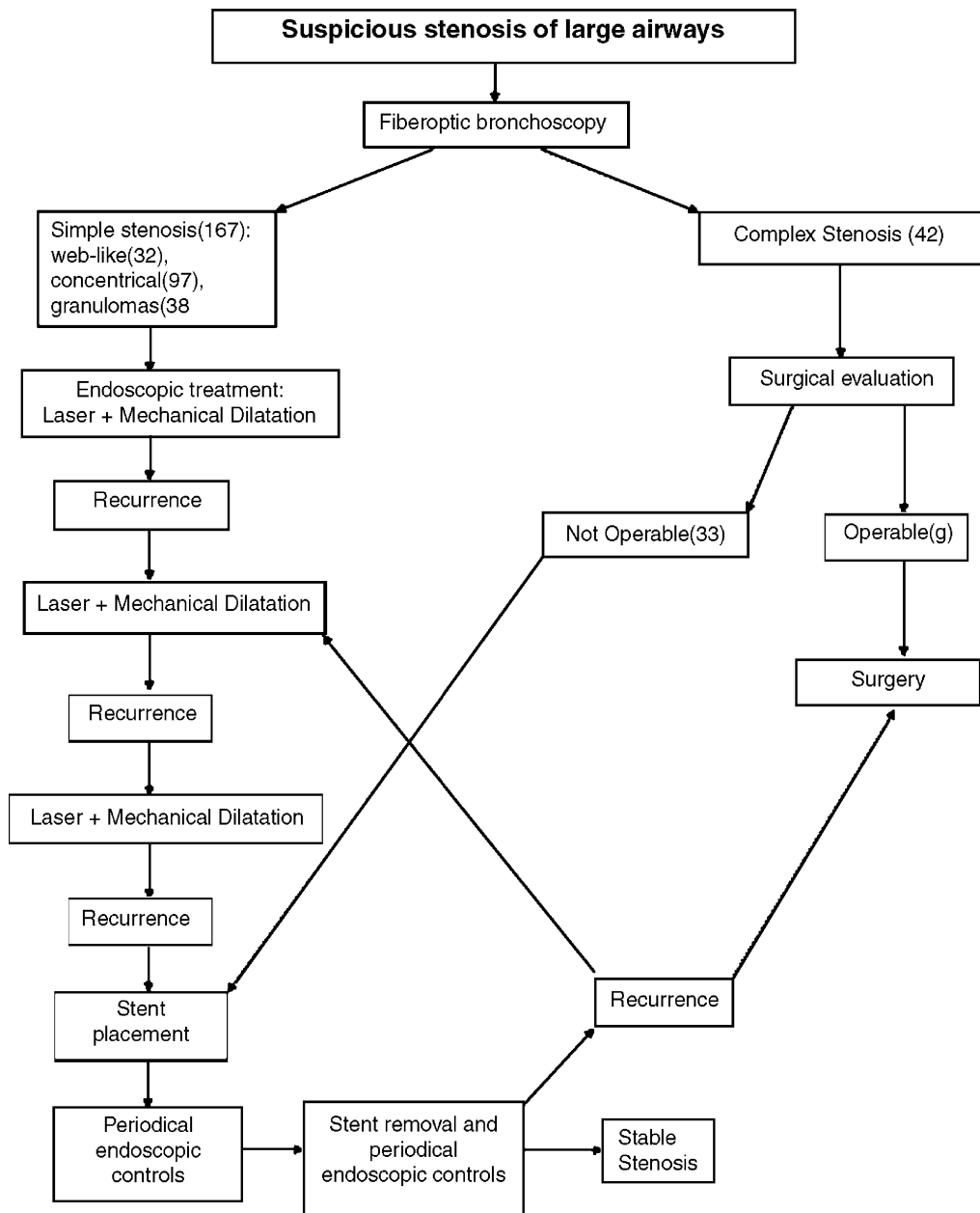


Figura 7. Algoritmo terapéutico del manejo de la estenosis traqueal benigna . Galluccio, G. (2008). Therapeutic algorithm for the management of benign tracheal stenoses.. [image].